

## **ГЕОМЕТРИЧЕСКОЕ КОНСТРУИРОВАНИЕ ПОВЕРХНОСТИ ПОДЗЕМНОЙ ВЫРАБОТКИ С ПРИМЕНЕНИЕМ (2-2)- ЗНАЧНОГО ПРЕОБРАЗОВАНИЯ $\Gamma_2$**

**Баймахан Нурмаханович НУРМАХАНОВ**

Доктор технических наук, профессор  
Казахского национального технического университета  
имени К.И. Сатпаева

**Абдикарим Алмаханович КАРАЖАНОВ**

Старший преподаватель  
Таразского государственного университета имени М.Х. Дулати

Одним из способов получения криволинейных поверхностей в начертательной геометрии является применение геометрических преобразований.

Квадратичные преобразования с вертикальной осью симметрии в начертательной геометрии не использованы. Данная работа посвящена геометрическому моделированию поверхностей подземных выработок с использованием (2-2)-значного преобразования  $\Gamma_2$  с вертикальной осью симметрии, что обеспечивает получить новые криволинейные поверхности по наперед заданным требованиям.

Криволинейная поверхность подземной выработки может иметь сечение в виде кривой, заданной на рисунке 1, где  $h$ ,  $r$  – заданные параметры.

Способ задания кривой типа «сечение туннеля» заключается в том, что эта кривая линия задается прообразом-окружностью (рисунок 2):

$$(x - i)^2 + y^2 = r^2 , \quad (1)$$

и геометрическим преобразованием  $\Gamma_2$ :

$$\left. \begin{array}{l} x' = \sqrt{y^2 - x^2 + R^2} \\ y' = y \end{array} \right\} , \quad (2)$$

где  $x, y$  – координаты прообраза;  
 $r$  – радиус окружности-прообраза;  
 $x', y'$  – координаты искомой кривой;  
 $R$  – параметр преобразования  $\Gamma_2$ ;  
 $t$  – параметр расположения прообраза (рисунок 2).

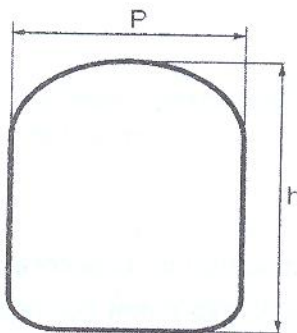


Рисунок 1 – Форма сечения туннеля

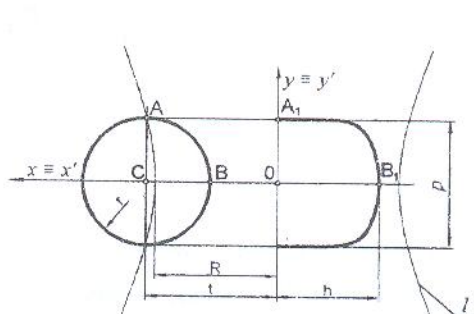


Рисунок 2 – Определение значений параметров прообраза и преобразования

Рассматриваемая обратная задача заключается в том, что по заданным параметрам ( $h, p$ ) искомой кривой требуется определить параметры прообраза-окружности и параметр  $R$  преобразования  $\Gamma_2$ .

Анализ рисунка 2 показывает, что

$$2r = d = p \quad (3)$$

или

$$r = \frac{p}{2} . \quad (4)$$

На рисунке 2 точка  $B$  ( $t-r, 0$ ) преобразуется в точку  $B_1$ . При этом расстояние  $OB_1$ :

$$OB_1 = h . \quad (5)$$

Координаты  $x_B, y_B$  точки  $B_1$  имеют следующие значения:

$$\left. \begin{aligned} x_{B_1} &= \sqrt{0 - \left( t - \frac{p}{2} \right)^2 + R^2} \\ y_B &= 0 \end{aligned} \right\}. \quad (6)$$

Из рисунка 2 видно, что

$$x_{B_1} = h. \quad (7)$$

Значение  $x_{B_1}$  из уравнения (7) подставив в первое уравнение (6), получим:

$$h = \sqrt{-\left( t - \frac{p}{2} \right)^2 + R^2}. \quad (8)$$

$$R^2 = h^2 + \left( t - \frac{p}{2} \right)^2. \quad (9)$$

На рисунке 2 граничная гипербола  $l$  и прообраз  $n2$  пересекаются в точке  $A(t, \frac{p}{2})$ . Из точки  $A$  опускаем перпендикуляр к оси  $Ox$ , получим точку  $C(t, 0)$ .

Значения  $t$  и  $R$  определяем следующим образом:

а) используя уравнение граничной гиперболы  $l$  и координаты точки  $A(t, \frac{p}{2})$  запишем:

$$t^2 - \left( \frac{p}{2} \right)^2 = R^2, \quad (10)$$

$$R^2 = t^2 - \left( \frac{p}{2} \right)^2. \quad (11)$$

б) Используя уравнения (9) и (11) запишем:

$$h^2 + \left( t - \frac{p}{2} \right)^2 = t^2 - \left( \frac{p}{2} \right)^2, \quad (12)$$

или

$$t = \frac{\left( h^2 + 2 \left( \frac{p}{2} \right)^2 \right)}{p}. \quad (13)$$

Таким образом, если заданы параметры  $h, p$  сечения туннеля (рисунок 2), то значения  $r, t, R$  определяются в следующем порядке:

$$\left. \begin{array}{l} r = \frac{p}{2} \\ t = \sqrt{h^2 + 2\left(\frac{p}{2}\right)^2} \\ R = \sqrt{t^2 - \left(\frac{p}{2}\right)^2} \end{array} \right\} . \quad (14)$$

При этом уравнение образа (сечения поверхности) определяется следующим образом:

$$\left( \sqrt{y'^2 - x'^2 + R^2} - t \right)^2 + y'^2 = r^2, \quad (15)$$

где  $r, t, R$  – вычисляются по формулам (14).

Способ конструирования криволинейной поверхности подземной выработки с применением геометрического преобразования  $\Gamma_2$  заключается в следующем:

1. задается каркас поперечных сечений поверхности подземной выработки. Например, пусть будут заданы 4 поперечные сечения рассматриваемой поверхности при  $l=l_1, l=l_2, l=l_3, l=l_4$ , где  $l$  – длина рассматриваемой поверхности,  $l_1, l_2, l_3, l_4$  – длины отрезков по оси туннеля;

2. моделируем геометрическую форму и определяем уравнение  $i$ -го сечения поверхности подземной выработки с использованием геометрического преобразования  $\Gamma_2$ . При этом получим значения  $R_i$  параметра  $R$  преобразования  $\Gamma_2$  и значения  $r_i, t_i$  параметров  $r, t$  прообраза-окружности (рисунок 3), где  $i = 1, 2, \dots, 4$ ;

3. интерполировав значения  $R_i$  параметра  $R$  по длине туннеля ( $l$ ), получим закономерность плавного изменения параметра  $R$ :

$$R = \varphi_i(l). \quad (16)$$

4. аналогичным образом определяем закономерности плавного изменения параметров  $r, t$  поперечного сечения по длине туннеля:

$$\begin{cases} r = \varphi_2(l) \\ t = \varphi_3(l) \end{cases}, \quad (17)$$

где  $R, r, t$  - параметры поперечного сечения туннеля;

$\varphi_1, \varphi_2, \varphi_3$  - непрерывные функции;

$l$  - длина туннеля,  $0 \leq l \leq l_{\max}$ .

5. для моделирования произвольного поперечного сечения поверхности подземной выработки:

a) задается длина по оси туннеля:  $l = l_{\text{зад}}$ .

б) для  $l_{\text{зад}}$  определяем  $R^0, r^0, t^0$  значения параметров  $R, r, t$  используя уравнения (16, 17) и эти значения подставим в уравнение (15);

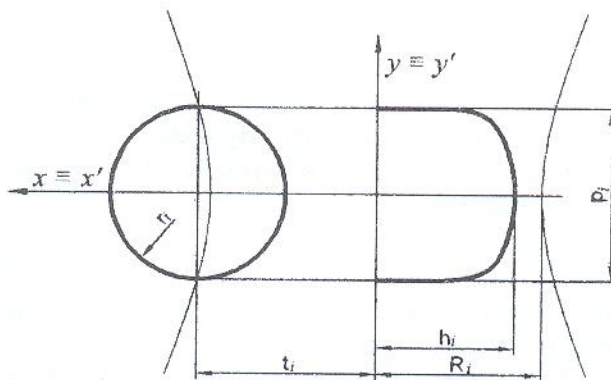


Рисунок 3 – Определение  
значений параметров  $R_i, r_i, t_i$

в) после этого вычерчиваем контур требуемого поперечного сечения поверхности туннеля, используя прикладную программу.

Таким образом, применение геометрического преобразования  $\Gamma_2$  позволяет конструировать новые виды кривых поверхностей подземных выработок, при этом каждое сечение поверхности задается одним уравнением.

Рассмотрим конкретный пример конструирования криволинейной переходной поверхности подземной:

1 Задаются поперечные сечения и план переходного участка подземной выработки (таблица 1, рисунок 4). Требуется определить

уравнение непрерывного каркаса переходного участка поверхности подземной выработки и построить ее поперечные сечения с заданным шагом.

Таблица 1 – Параметры заданных сечений переходного участка

№	Заданные сечения	Значение $l$	Значение $h$	Значение $p$
1	I-I	$l_1 = 0$	3500	4400
2	II-II	$l_2 = 3800$	3380	4100
3	III-III	$l_3 = 7600$	3260	3200
4	IV-IV	$l_4 = 11400$	3140	2700

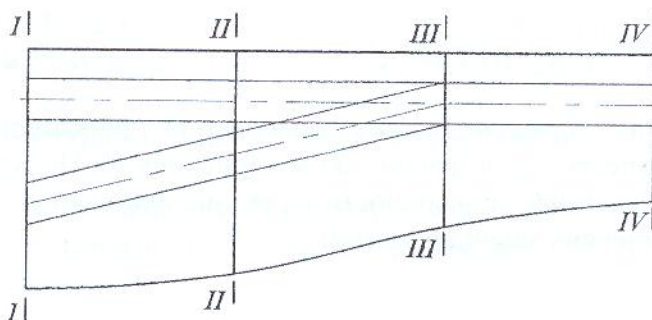


Рисунок 4 – План переходного участка

2 Определяем значения параметров  $R_i$ ,  $r_i$ ,  $t_i$  и уравнение  $i$ -го сечения поверхности в виде:

$$\left( \sqrt{y^2 - x^2 + R_i^2} - t_i \right)^2 + y^2 = r_i^2, \quad (18)$$

где  $i = 1, 2, \dots, 4$ .

3 Интерполировав значения получим следующие уравнения:

$$R(l) = 4472 - 0.114 \cdot l + 2.922 \cdot 10^{-5} \cdot l^2 - 1.452 \cdot 10^{-9} \cdot l^3, \quad (19)$$

$$r(l) = \frac{4400 + 0.088 \cdot l - 5.54 \cdot 10^{-6} \cdot l^2 + 3.037 \cdot 10^{-10} \cdot l^3}{2}. \quad (20)$$

$$t(l) = 4984 - 0.09 \cdot l + 1.627 \cdot 10^{-5} \cdot l^2 - 7.199 \cdot 10^{-10} \cdot l^3. \quad (21)$$

4 Записываем уравнение поверхности переходного участка в виде:

$$\left( \sqrt{y^2 - x^2 + R^2} - t \right)^2 + y^2 = r^2, \quad (22)$$

$$\text{где } R = R(l) = 4472 - 0.114 \cdot l + 2.922 \cdot 10^{-5} \cdot l^2 - 1.452 \cdot 10^{-9} \cdot l^3;$$

$$r = r(l) = \frac{4400 + 0.088 \cdot l - 5.54 \cdot 10^{-5} \cdot l^2 + 3.037 \cdot 10^{-9} \cdot l^3}{2};$$

$$t = t(l) = 4984 - 0.09 \cdot l + 1.627 \cdot 10^{-5} \cdot l^2 - 7.199 \cdot 10^{-10} \cdot l^3;$$

$$l_1 \leq l \leq l_4; \quad l_1=0, \quad l_4=11400.$$

5 Для профилирования полученной каналовой поверхности задаем значение  $l_{ шаг}$  с шагом 600 мм (рисунок 5). Получим 20 сечений конструированной поверхности для использования при решении технологических задач крепления.

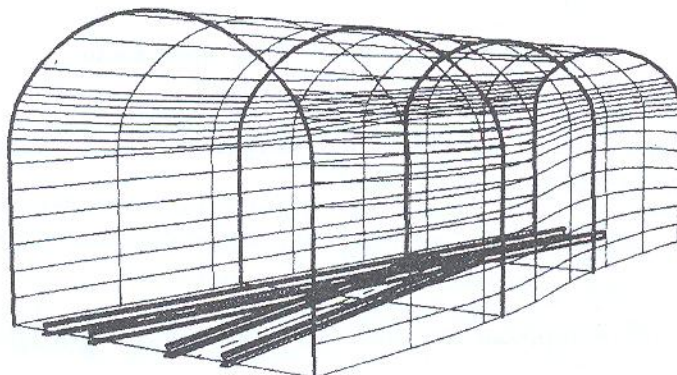


Рисунок 5 – Каркас поверхности переходного участка подземной выработки

Выполненный расчетный пример показывает, что разработанный способ позволяет конструировать гладкую поверхность сложных переходных участков подземной выработки в шахтном строительстве, удовлетворяющую заданным требованиям.

**Список использованной литературы:**

1. Нурмаханов Б.Н. Теоретические и прикладные основы проектирования кривых поверхностей и гиперповерхностей методом мономиальных преобразований: автореф. ... докт. техн. наук: 05.01.01. – М., 1992. – 36 с.
2. Нурмаханов Б.Н., Усупов М.М. Разработка способа задания (1-4)-значных преобразований и их применение в построении кривых – Алматы: Поиск, 1997. - №1.
3. Байдабеков А.К. Теория нелинейных преобразований и их применение в науке и технике: автореф. ... докт. техн. наук: 05.01.01. – М., 2006. – 36 с.

## **ИНТЕГРАЦИЯ КАЗАХСТАНА В МИРОВОЕ ОБРАЗОВАТЕЛЬНОЕ ПРОСТРАНСТВО**

**Ақмарал Сабитоллаевна МАГАУОВА**

Доктор педагогических наук, проректор  
университета «Кайнар» г. Семей

В Послании Главы государства Н.А. Назарбаева народу Казахстана выдвинуты такие кардинальные и масштабные задачи, как вхождение в мировую элиту конкурентоспособных стран, рост экономики, развитие демократических процессов, представительство Казахстана в ОБСЕ [1]. Повышение качества человеческого потенциала и обеспечение будущего Казахстана высококвалифицированными кадрами возможно только при условии модернизации высшего образования республики, его интеграции в мировое образовательное пространство. В связи с этим модернизация сферы образования становится одной из ключевых задач общества и государства.

Преобразования в социально-экономической и общественно-политической жизни современного общества, в том числе странах СНГ и Республики Казахстан требуют глубокого осмысления принципов и